

岡山大学 正 森 忠次
岡山大学 ○正 服部 進

1. はじめに

実体空中写真から、画像相関法で自動図化を行う場合には、最適なパラメータを設定するためには画像の雑音量を知る必要がある。実体画像の雑音量の計測には、Gennery¹⁾, Ehlers²⁾ 等の研究がある。とくに Gennery は、Bayes の定理から、探索窓内の各位置の信頼度を確率的に導き、マッチングの最確値を求めるときに同時に、雑音分散を推定した。ニニでは、これをさらに数学的に展開して、最小2乗法におけるロバスト推定法の考え方と関連づけて述べる。³⁾

2. 雜音量の推定法

典型的な画像相関法は、左画像上の対応点 P_1 の対応点 P_2 を右画像上に探索するのに、図-1 に示すように、 P_1 を中心とする相関窓と、 P_2 の予測位置を中心とする探索窓をとり、前者を後者の中で動かして、最大相関点を求めるものである。図-1 の座標系 x, y は、左右画像に共通の epipolar 座標系であるとする。したがって対応点の y -座標は一致する。 P_1, P_2 は、正確な対応点であり、かつ原点に一致する。相関窓は $L \times L$ の大きさで、探索範囲は $\pm T$ である。画像点 (x, y) の画像濃度値を左右それぞれ、 $D_1(x, y), D_2(x, y)$ であらわし、その構造を次のように仮定する。

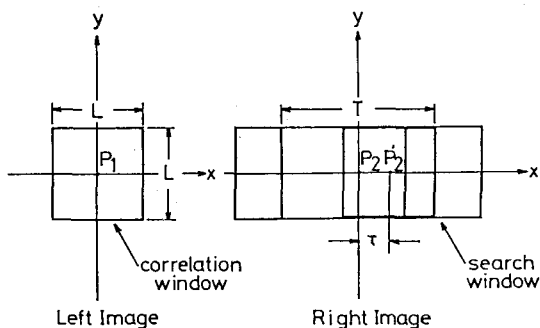


Fig. 1 Schematic of Image Correlation

$$D_1(x, y) = b_1 + D(x, y) + V_1(x, y), \quad D_2(x, y) = b_2 + D(x, y) + V_2(x, y) \quad (1)$$

b_1, b_2 は正定数のバイアス、 $D(x, y)$ は、両画像に共通の画像函数、 $V_1(x, y), V_2(x, y)$ は、正規分布 $N(0, \sigma^2)$ に従う、互いに独立な白色雑音とする。

マッチングの標準として、相関係数 $R(\tau)$ ($\tau = -T, -T+1, \dots, T-1, T$) を用い、その最大点 $\tau = \tau_m$ を正しい対応点であるといふ。このとき、次式の χ^2

$$\begin{aligned} \chi^2 &= \sigma^2(\tau_m)/2\sigma^2, \quad \sigma^2(\tau_m) = \sum_{x=L/2}^{L/2} \sum_{y=L/2}^{L/2} ((D_1(x, y) - \bar{D}_1) - (D_2(x+\tau_m, y) - \bar{D}_2(\tau_m)))^2 \\ &= \sum_x \sum_y ((V_1(x, y) - \frac{1}{L^2} \sum_x \sum_y V_1(x', y')) - (V_2(x+\tau_m, y) - \frac{1}{L^2} \sum_x \sum_y V_2(x'+\tau_m, y')))^2 \end{aligned} \quad (2)$$

$$\bar{D}_1 = \frac{1}{L^2} \sum_x \sum_y D_1(x, y), \quad \bar{D}_2(\tau_m) = \frac{1}{L^2} \sum_x \sum_y D_2(x+\tau_m, y)$$

は、自由度 $N = L^2 - 1$ の χ^2 -分布に従う。このとき、互いに重なりしない、 Q 個の探索点からなる相関窓と、探索窓の組から得られた $\sigma^2(\tau_m)$ (これを $\sigma^2_j, j = 1, 2, \dots, Q$ と表わす) ならば、たとえば最尤推定法を使えば D^2 の

最確値 $\hat{\Gamma}^2$ は、

$$\hat{\Gamma}^2 = \frac{1}{2NQ} \sum_{j=1}^Q S_j^2 \quad (3)$$

から求められる。しかし、明らかに相間の最大値が正しい対応値であるとは限らず、とくに離者が卓越しているところでは $\hat{\Gamma}^2$ は過少評価される。一方、過誤を含んだ観測データから、母数を推定する方法にロバスト推定法がある。これは残差の大きい観測値には、小さな重みを与え、信頼性の高いデータのみを利用するものであるが、その重みのつけ方に議論が分かれている。今の場合、Bayes の定理を使えば、これを理論的に与えることができる。 $T = T_m$ で $S^2(T_m)$ を得たとき、 T_m が正しい対応値 $T_m = 0$ である確率は、

$$P(T_m=0 | S^2(T_m)) = \frac{P(S^2(T_m), T_m=0) P(T_m=0)}{P(S^2(T_m))} \quad (4)$$

先駆確率 $P(T_m=0)$ は探索範囲内で一定と仮定する。 $P(S^2(T_m))$ は、実験的に求めることができ、さうに上記の議論から

$$P(S^2(T_m) | T_m=0) = \frac{1}{2^{\frac{N}{2}} \pi^{\frac{N}{2}}} \cdot e^{-\frac{S^2(T_m)}{4C^2}} \cdot \left(\frac{S^2(T_m)}{2C^2}\right)^{\frac{N-2}{2}} \cdot \frac{1}{2C^2} \quad (5)$$

であるから、式(4)の左辺は、計算可能である。ロバスト推定による $\hat{\Gamma}^2$ の最小二乗解は、

$$\hat{\Gamma}^2 = \frac{1}{2L^2 Q} \sum_{j=1}^Q S_j^2 P_j \quad (6)$$

で与えられる。ここで P_j は、各探索真について得られた式(4)の値である。 P_j は $\hat{\Gamma}^2$ の関数であるから $\hat{\Gamma}^2$ を求めるには、繰返し計算が必要である。

[実験例]

$1/25,000$ 空中写真画像の山地部分から求めた $S^2(T_m)$ のヒストグラムを図-2に示す。これより式(3)から、
 $\hat{\Gamma}^2 = 26.0$ を得る。一方式(4)を満足する $\hat{\Gamma}^2$ は、
 $\hat{\Gamma}^2 = 28.5$ であり、式(3)より推定値は大きくなる。
このとき $Q = 2.4$, $L = 9$ であった。実験の詳細は、講演時に示す。

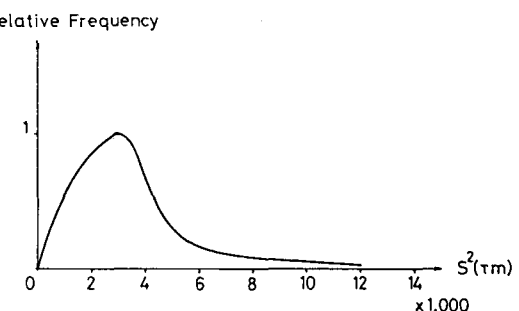


Fig. 2 Histogram of $S^2(T_m)$

参考文献

1. Gennery, D. B.; modelling the Environment of an Exploring Vehicle by Means of Stereo Vision, Stanford Artificial Intelligence laboratory, Memo AIM-339, 1980
2. Ehlers, M; Increase in Correlation Accuracy of Remote Sensing Imagery by Digital Filters, Photogrammetric Engineering and Remote Sensing, Vol. 48, No. 3, March 1982, pp. 415-420
3. 森 忠次, 服部 遼, 内田 修; 対象画像の確率推定, 日本写真測量学会, 昭和57年度秋期学術講演会表論文集, 1982, 10, pp. 25-28